

نشریه علمی تحقیقات جنگل و صنوبر ایران  
جلد ۲۸ شماره ۳، صفحه ۲۶۹-۲۸۲ (۱۳۹۹)

شناسه دیجیتال (DOI): 10.22092/ijfpr.2020.342892.1929

شناسه دیجیتال (DOR): 98.1000/1735-0883.1399.28.269.81.3.32.41

## بررسی مسلح‌سازی خاک براساس تغییرات چسبندگی در حضور ریشه درختان مرمرز (*Carpinus betulus L.*)

سمیه کرمی راد<sup>۱\*</sup>، مجید لطفعلیان<sup>۲</sup>، عیسی شوش پاشا<sup>۳</sup>، حمید جلیلوند<sup>۴</sup> و فیلیپو گیادر و سیچ<sup>۴</sup>

<sup>۱</sup>- نویسنده مسئول، دانشجوی دکترا مهندسی جنگل، دانشکده منابع طبیعی، دانشگاه علوم کشاورزی و منابع طبیعی ساری، ساری، ایران

پست الکترونیک: s.karamirad64@gmail.com

۲- استاد، گروه جنگل‌داری، دانشکده منابع طبیعی، دانشگاه علوم کشاورزی و منابع طبیعی ساری، ساری، ایران

۳- دانشیار، گروه ژئوتکنیک، دانشکده عمران، دانشگاه صنعتی نوشیروانی بابل، بابل، ایران

۴- استاد، گروه جنگل‌داری و علوم محیط‌زیست، دانشکده کشاورزی، دانشگاه ساساری، ساساری، ایتالیا

تاریخ دریافت: ۱۳۹۹/۰۲/۱۹ تاریخ پذیرش: ۱۳۹۹/۰۶/۰۷

### چکیده

مقدار چسبندگی ظاهری خاک در حضور ریشه از معیارهای مهم در مسلح‌سازی خاک است. در پژوهش پیش‌رو با استفاده از دو مدل WWM (Wu-Waldron Model) و FBM (Fiber Bundle Model) مقدار چسبندگی خاک بررسی شد. هفت درخت مرمرز (*Carpinus betulus L.*) در هر کدام از سه رویشگاه مورد بررسی در سری یک جنگل سرچشممه چالوس انتخاب شدند. برای بررسی پراکنش ریشه‌ها از روش حفر پروفیل و برای اندازه‌گیری مقاومت کششی از دستگاه اینسٹرونون استاندارد استفاده شد. براساس نتایج، نسبت سطح ریشه به سطح خاک (RAR) با افزایش عمق کاهش یافت. بیشینه شاخص RAR برای هر سه رویشگاه در ۴۰ سانتی‌متری ابتدایی خاک مشاهده شد و بیشینه عمق ریشه‌دانی نیز ۶۰ سانتی‌متر بود. کمینه و بیشینه مقاومت کششی در رویشگاه اول ۱۱/۵۲ تا ۳۲۳/۴۲، رویشگاه دوم ۶/۸۹ تا ۳۱۸/۷۹ و رویشگاه سوم ۶/۹۱ تا ۳۱۲/۶۶ مگاپاسکال به ترتیب در دامنه قطر ریشه برای رویشگاه اول ۰/۵ تا ۹/۴۵، رویشگاه دوم ۰/۵۶ تا ۹/۲۱ و رویشگاه سوم ۰/۴۵ تا ۹/۳۲ میلی‌متر برآورد شدند. همچنین، متوسط چسبندگی ریشه در تمام عمق‌ها با استفاده از مدل WWM در رویشگاه اول ۴/۰۴ تا ۶۱/۳۷، در رویشگاه دوم ۵/۷ تا ۵/۱۸ و در رویشگاه سوم ۴/۶ تا ۴۶/۶۶ کیلوپاسکال و با استفاده از مدل FBM در رویشگاه اول ۱۱/۲۲ تا ۲۷/۴۸، در رویشگاه دوم ۱/۸۷ تا ۲۴/۲۲ و در رویشگاه سوم ۱/۸۵ تا ۱۹/۰۴ کیلوپاسکال به دست آمد. مقایسه دو مدل مذکور باعث افزایش شناخت از ویژگی‌های زیست‌فنی مرمرز و تعیین دقیق‌تر مقدار مسلح‌سازی خاک شد. از این یافته‌ها می‌توان در آینده در مدیریت پدیده‌های طبیعی مانند زمین‌لغزش استفاده کرد.

واژه‌های کلیدی: پایداری خاک، زیست‌مهندی، مدل FBM، مدل WWM، مقاومت کششی ریشه.

### مقدمه

شناخته شده است. پوشش گیاهی، ابزاری مؤثر در کاهش زمین‌لغزش به خصوص در زمین‌لغزش سطحی محسوب می‌شود (Bischetti *et al.*, 2009). تاکنون در پژوهش‌های زیادی بر اهمیت سیستم ریشه درختان جنگلی در افزایش

زمین‌لغزش یکی از مخاطرات طبیعی است که سالانه خسارت‌های جانی و مالی فراوانی به دنبال دارد. اهمیت پوشش گیاهی در جلوگیری از ناپایداری دامنه‌ها به خوبی

FBM) از روش‌های دیگر محاسبه مقدار مسلح‌سازی خاک در حضور ریشه است. در این مدل، فرض بر این است که ریشه‌ها در جریان تنش به تدریج گسیخته می‌شوند (Wang *et al.*, 2017). در مدل FBM ابتدا بار به طور مساوی بین ریشه‌ها توزیع می‌شود. پس از گسیختگی ریشه‌ها، بار دوباره بین ریشه‌های سالم تقسیم می‌شود. این فرایند تا آنجایی ادامه می‌یابد که همه ریشه‌ها گسیخته شوند. مهم‌ترین عامل در این مدل، قطر ریشه است که هرچه بیشتر باشد، نیروی کمتر و هر چه کمتر باشد، نیروی بیشتری را تحمل می‌کند. درنتیجه، چسبندگی ریشه در مدل FBM به بیشینه مقاومت کششی که ریشه‌ها در این حالت می‌توانند تحمل کنند، بستگی دارد (Pollen & Simon, 2005). در انواع مختلف این مدل فرض می‌شود که مقدار مقاومت کششی در طول ریشه‌ها با توجه به سطح مقطع (نوع FBM یک) (Daniels, 1945) یا قطر ریشه (نوع دو) (Hidalgo *et al.*, 2001) یا تعداد در یک دسته از ریشه (Pollon & Simon, 2005) یا تعداد در هر دو مدل WWM و FBM، متغیرهای تراکم ریشه، مقاومت کششی ریشه و زاویه قرارگیری ریشه Root (RBM) با توجه به سطح برش، اهمیت بسیار دارند. RBMw (Schwarz *et al.*, 2010) (Bundle Model Schwarz *et al.*, ) (Root Bundle Model Weibull) از جدیدترین مدل‌ها در برآورد میزان مسلح‌سازی خاک هستند.

در پژوهش‌های متعددی از مدل‌های WWM و FBM برای مقایسه مقدار چسبندگی خاک در حضور ریشه گونه‌های مختلف استفاده شده است (Bischetti *et al.*, 2009; Bischetti *et al.*, 2013; Wang *et al.*, 2017; Adhikari *et al.*, 2013; Deljouei *et al.*, 2018). در پژوهش پیش رو نیز با استفاده از این دو مدل، مسلح‌سازی خاک در حضور ریشه درختان ممرز (*Carpinus betulus L.*) بررسی شد. لازم به ذکر است که Abdi و همکاران (۲۰۰۹) با کاربرد مدل WWM و Deljouei و همکاران (۲۰۱۸) با استفاده از مدل RBM به بررسی ویژگی‌های زیست‌فی سیستم ریشه ممرز و تأثیر آن بر مسلح‌سازی خاک پرداختند. پژوهش‌های

مقاومت خاک تأکید شده است (Abdi *et al.*, 2009; Bischetti *et al.*, 2009; Schwarz *et al.*, 2010; Giadrossich *et al.*, 2016) و مسلح‌سازی خاک (Sidle & Bogaard, 2016) و Moresi *et al.*, 2019). مقدار این اثر به مقدار نفوذ سیستم ریشه در خاک بستگی دارد. این عامل خود تحت تأثیر گونه و ویژگی‌های رویشگاه (بافت خاک، رطوبت، حرارت و رقابت با گونه‌های دیگر) تغییر می‌کند. ریشه‌ها با ایجاد شبکه اتصال در لایه خاک و اتصال لایه بی‌ثبات به لایه عمیق‌تر و پایدارتر بر Gyssels *et al.*, 2005 همچنین، مقاومت مکانیکی ریشه‌های تحت Dupuy *et al.*, 2005 تنش موجب افزایش چسبندگی خاک می‌شود (Dupuy *et al.*, 2005)، بنابراین مقدار مسلح‌سازی خاک به تعداد ریشه‌های موجود در سطح برش (شاخص نسبت سطح ریشه به سطح خاک)، نیروی کششی و قطر و جهت ریشه‌ها در سطح برش بستگی دارد (Pollen & Simon, 2005). اندازه‌گیری مسلح‌سازی خاک در گونه‌ها و رویشگاه‌های مختلف از مؤلفه‌های کلیدی در زیست‌مهندسی هستند (Naghdi *et al.*, 2013).

کمی‌سازی تأثیر مسلح‌سازی ریشه یکی از مهم‌ترین مسائل در پایدارسازی دامنه‌ها است که مدل‌های متعددی برای آن توسعه داده شده است. ساده‌ترین مدل بررسی مسلح‌سازی خاک، WWM (Wu-Waldron Model) است که توسط Waldron (۱۹۷۷) و Wu و همکاران (۱۹۷۹) پیشنهاد شد. در این مدل، مقدار پایداری شبیب در خاک در حضور ریشه با توجه به زاویه اعوجاج برشی ریشه (Distortion Angle of Sheared Root) ریشه با خاک محاسبه می‌شود. در مدل WWM، ریشه با تبدیل تنش‌های برشی موجود در خاک به مقاومت کششی در برابر تغییر شکل و گسیختگی خاک مقاومت می‌کند. این مدل با درنظر گرفتن گسیختگی همه ریشه‌ها در یک‌زمان، مقدار مسلح‌سازی و چسبندگی خاک را بسیار بیشتر محاسبه می‌کند (Pollen & Simon, 2005). مدل FBM

اولیه در پارسل‌های ۱۲۲ و ۱۲۳، سه رویشگاه با شبیع عمومی کمتر از ۲۰ درصد، جهت عمومی شمال‌شرقی و ارتفاع ۶۰۰ متر از سطح دریا انتخاب شدند. مساحت پارسل ۱۲۲ برابر با ۵۱ هکتار است و بیشتر سطح آن در شبیع کمتر از ۳۰ درصد قرار دارد. تیپ غالب این پارسل، مرز-انجیلی است. درختان مرز موجود در آن، کیفیت متوسط تا خوب دارند و بیشتر آن‌ها متعلق به مرحله جوان (تیرک) هستند. جنگل در این قسمت از سری، یک تا دواشکوبه است و به سبب تراکم زیاد درختان، تاج پوشش زیادی (بیشتر از ۷۵ درصد) دارد. مساحت پارسل ۱۲۳ حدود ۴۷ هکتار است. از نظر زمین‌شناسی، وجود دولین‌های بزرگ و کوچک، گسل‌های تکتونیکی و دره‌های انحلالی موجب حرکت توده‌های خاک در این پارسل شده است.

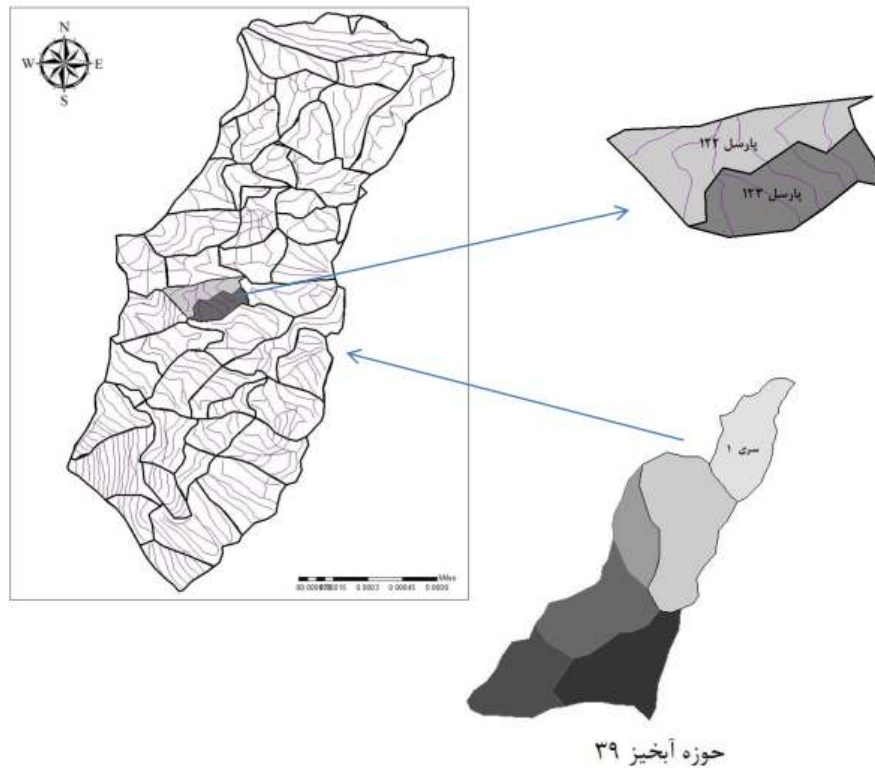
#### روش پژوهش

در هر رویشگاه، هفت درخت مرز که شرایط یکسانی از نظر ارتفاع از سطح دریا و زاویه شبیع داشتند، انتخاب شدند (Vergani *et al.*, 2014) و مختصات، قطر، ارتفاع و زاویه شبیع این درختان یادداشت شد. سپس، در اطراف هر کدام از آن‌ها، سه پروفیل به عیار  $1 \times 0.5 \times 0.5$  متر مربع در فاصله‌های یک، ۱/۵ و ۲/۵ متر از تنه و در سمت پایین شبیع حفر شد (Vergani *et al.*, 2014). درواقع، ریشه‌های سمت پایین شبیع، مقاومت کششی زیادتری دارند که علت آن، وجود تنش‌های بیشتر در سمت پایین شبیع و درنتیجه، سازگاری سیستم ریشه‌ای است (Abdi, 2009). عمق حفر هر پروفیل تا بیشینه عمق ریشه‌دانی ادامه داشت. هر پروفیل روی دیواره نزدیک به درخت به افق‌های ۱۰ سانتی متری تفکیک و علامت‌گذاری شد. سپس، تعداد و قطر همه ریشه‌ها در هر افق با استفاده از کولیس دیجیتال اندازه‌گیری شد (Vergani *et al.*, 2014). قطر ریشه‌ها در پنج طبقه قطری شامل  $0/5$  تا  $1/5$ ،  $1/5$  تا  $2/5$ ،  $2/5$  تا  $5/5$  و بیشتر از ۱۰ میلی‌متر دسته‌بندی شدند (Genet *et al.*, 2008).

مذکور در شرایط رویشگاهی (خاک، شبیع، جهت دامنه و زمین‌شناسی)، مختلف انجام شدند. بدینهی است که ساختار درختان جنگلی و سیستم ریشه آن‌ها به طور معنی‌داری تحت تأثیر شرایط رویشگاه است، بنابراین هدف از پژوهش پیش‌رو، برآورد دقیق‌تر مقدار چسبندگی خاک درختان مرز در جنگل سرچشمی چالوس بود.

#### مواد و روش‌ها منطقه مورد مطالعه

پژوهش پیش‌رو در سری یک از جنگل سرچشمی چالوس انجام شد. این سری از نظر تقسیمات حوضه آبخیز جنگل‌های هیرکانی در قسمت شمالی حوضه ۳۹ بین عرض جغرافیایی  $۳۳^{\circ} ۳۶' \text{ تا } ۳۸^{\circ} ۳۶'$  شمالی و طول جغرافیایی  $۵۱^{\circ} ۲۱' \text{ تا } ۵۱^{\circ} ۲۵'$  شرقی قرار دارد (شکل ۱). براساس اطلاعات ایستگاه‌های هواشناسی نوشهر و سیاهبیشه، کمینه و بیشینه بارندگی در این منطقه در ماه‌های آبان و مرداد مشاهده می‌شود که به ترتیب  $18/48$  و  $2/55$  درصد از بارندگی سالانه را شامل می‌شوند. خاک منطقه مورد مطالعه، قهقهه‌ای جنگلی آهکی با عمق بهنسبت زیاد و از نظر زمین‌شناسی نیز حاوی سنگ‌های آهکی کرتاسه با مقدار کمی از لایه‌های مارنی است. خاک این منطقه براساس طبقه‌بندی یونیفايد جزء خاک‌های رسی با پلاستیسیته زیاد (CH) محسوب می‌شود. این جنگل‌ها در دامنه ارتفاعی بین ۱۰۰ تا ۱۷۵۰ متر از سطح دریا پراکنش دارند. بیشترین درختان سری مورد مطالعه را مرز (*Carpinus betulus* L.) تشکیل می‌دهند. توسکای بیلاقی (*Alnus subcordata*) (Diospyros *persica*), خرمندی (Acer sp.), شمشاد (*Buxus hyrcanus*) و بلندمازو (*Quercus castaneifolia*) نیز همراه با آن‌ها دیده می‌شوند. با توجه به اهداف پژوهش، رویشگاه‌های مورد مطالعه به‌نحوی انتخاب شدند که شرایط محیطی درختان مرز در آن‌ها مشابه باشند و نیز درختان در هر رویشگاه در یک طبقه قطری قرار داشته باشند. بنابراین، با جنگل‌گردشی



شکل ۱- نقشه منطقه مورد مطالعه در شمال کشور

سرعت  $10$  میلی‌متر بر دقیقه، دقت اندازه‌گیری  $\pm 0.001$  نیوتون و جایه‌جایی در واحد طول  $0.0001 \pm 0.0001$  میلی‌متر قرار داده شدند. بیشینه نیروی لازم برای گسیختگی ریشه‌ها با استفاده از دستگاه مذکور اندازه‌گیری شد. نمونه ریشه‌هایی که گسیختگی آن‌ها در محل نزدیک فک‌ها بود، نامعتبر در نظر گرفته شد و داده‌های آن‌ها حذف شد (Abdi *et al.*, 2009). همچنین، قطر ریشه از میانگین سه نقطه نزدیک به نقطه گسیختگی در طول ریشه که با کولیس دیجیتال اندازه‌گیری شده بود، بدست آمد (Vergani *et al.*, 2014).

براساس رابطه ۲، با تقسیم بیشینه نیروی لازم برای گسیختن ریشه ( $F_{max}$ ) به سطح مقطع ( $CSA$ ) ریشه در محل گسیختگی، مقاومت کششی ریشه در محل گسیختگی ( $T_r$ ) محاسبه شد (Bischetti *et al.*, 2005).

$$T_r = \frac{F_{max}}{CSA} \quad \text{رابطه (۲)}$$

با تقسیم مساحت اشغال‌شده توسط ریشه‌ها ( $A_r$ ) به مساحت خاک ( $A_s$ ) در هر لایه، شاخص نسبت سطح ریشه به سطح خاک (RAR: Root Area Ratio) طبق رابطه ۱ محاسبه شد (Wu *et al.*, 1979; Zhang *et al.*, 2014).

$$RAR = \frac{A_r}{A_s} \quad \text{رابطه (۱)}$$

برای محاسبه مقاومت کششی ریشه، نمونه‌های ریشه درختان در عمق حدود  $30$  سانتی‌متری خاک با سیم‌چین تیز بریده و جمع‌آوری شدند (Abdi *et al.*, 2014). این نمونه‌ها پس از شستشو در تیمار الكل  $15$  درصد در کيسه‌های پلاستیکی نگهداری شدند. بین زمان جمع‌آوری ریشه‌ها و اجرای آزمایش مقاومت کششی،  $10$  روز اختلاف زمانی وجود داشت. برای انجام این آزمایش در آزمایشگاه از دستگاه ایستندرار ساخت سنتام ایران (STM20) استفاده شد. ریشه‌های به طول تقریبی  $15$  سانتی‌متر درون فک دستگاه با

است (Bischetti *et al.*, 2009). بیشینه مقاومت کششی ( $T_r$ ) از رابطه (۶) محاسبه می‌شود:

$$T_r = \alpha d^{-\beta} \quad (6)$$

که در آن:  $\alpha$  و  $\beta$  به ترتیب بیانگر عامل مقیاس و عامل شکل هستند. این دو ضریب، مقدار کاهش مقاومت کششی Bischetti *et al.*, (2005).

با توجه به اینکه در ریشه‌های مختلف، قطر و بیشینه مقاومت کششی متفاوت هستند، بنابراین آن‌ها در زمان‌های مختلفی در خاک گسیخته می‌شوند. بر این اساس، مدل FBM به کار می‌رود (Pollen & Simon, 2005). در این مدل: ۱) بار به طور مساوی بر ریشه‌هایی که به طور موازی در کنار هم قرار گرفته، وارد می‌شود؛ ۲) بار به طور پیوسته افزایش می‌یابد تا آنجایی که ریشه گسیخته شود (زمانی ریشه گسیخته می‌شود که مقدار بار از مقاومت کششی ریشه بیشتر باشد)؛ ۳) اگر توزیع بار دوباره باعث گسیختگی ریشه شود، بار دوباره تقسیم می‌شود و ۴) این روند تا آنچه ادامه می‌یابد که همه ریشه‌ها گسیخته شوند، بنابراین مقدار مسلح سازی خاک در این مدل به بیشینه مقاومت کششی که ریشه‌ها می‌توانند تحمل کنند، بستگی دارد و از مجموع مقاومت کششی ریشه‌هایی که در سطح برش قرار دارند، محاسبه می‌شود (Pollen & Simon, 2005). برای محاسبه  $C_r$  استفاده از مدل FBM، متغیرهای  $T_r$  و RAR مانند مدل Wu محاسبه می‌شود. در این مدل، ترتیب گسیخته شدن ریشه تابعی از قطر ریشه است (رابطه ۷).

$$C_r = T_{rj} \text{RARj} \frac{\sum_{n=1}^j d_n}{d_j} \quad (7)$$

که در آن:  $d_j$  نشان‌دهنده قطر نازک‌ترین ریشه است که در هر مرحله از بارگذاری گسیخته می‌شود (Mao *et al.*, 2012).

سپس، مقدار مسلح‌سازی خاک توسط ریشه گونه مورد بررسی با استفاده از مدل Wu و همکاران (۱۹۷۹) تعیین شد. مدل مسلح‌سازی ریشه Wu، یکی از آسان‌ترین و سریع‌ترین روش‌ها برای کمی‌سازی مسلح‌سازی خاک توسط ریشه‌ها است که مبتنی بر معادله موهر-کلمب است. در این مدل، مقدار افزایش مقاومت برشی در اثر حضور ریشه ( $T_{sr}$ ) طبق رابطه (۳) تعیین می‌شود.

$$t_{sr} = C_r + C_s + \sigma \tan \varphi \quad (3)$$

که در آن:  $C_s$  بیانگر چسبندگی خاک،  $C_r$  چسبندگی مضاعف در اثر حضور ریشه،  $\sigma$  تنش معمول در صفحه برش و  $\varphi$  زاویه اصطکاک درونی ذرات خاک هستند. مقدار  $C_r$  با استفاده از دو ویژگی شاخص نسبت سطح ریشه به سطح خاک و مقاومت کششی ریشه از رابطه ۴ محاسبه می‌شود:

$$C_r = t_r (\sin \sigma + \cos \sigma \tan \varphi) \quad (4)$$

که در آن:  $t_r$  متوسط مقاومت کششی ریشه ( $T_r$ ) در هر سطح از خاک (A)،  $\sigma$  زاویه اعوجاج در ناحیه برش و  $d$  قطر ریشه هستند. ارزش‌های  $\sigma$  و  $\varphi$  اغلب در محدوده یک تا  $1/3$  قرار دارند و برابر با  $k$  هستند (Bischetti *et al.*, 2009). همچنین،  $C_r$  از حاصل ضرب مقاومت کششی ریشه ( $T_r$ ) در شاخص RAR به دست می‌آید (رابطه ۵):

$$C_r = k \cdot k'' T_r \sum_{i=1}^n \frac{\pi d_i^2}{4A} \quad (5)$$

به منظور کاهش بیش‌برآورده مدل WWM از ضریب  $k''$  استفاده می‌شود. این ضریب از نسبت چسبندگی ریشه در FBM به WWM به دست می‌آید و مقدار آن بسته به گونه‌های درختی مختلف و تراکم ریشه بین ۰/۳۲ تا یک متغیر

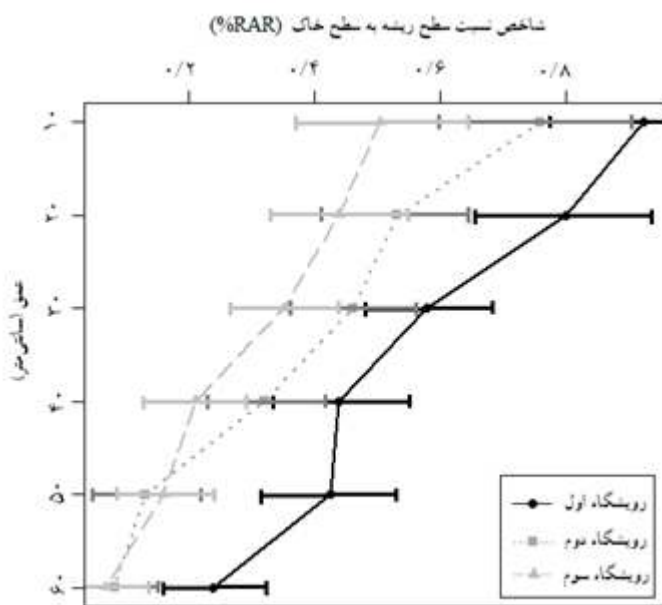
شد. همچنین، بیشینه عمق ریشه‌دانی، ۶۰ سانتی‌متر بود. درصد RAR در فاصله‌های مختلف ( $F=0.001 < p$ ) در عمق‌های مختلف ( $F=0.001 < p$ ) و در سه رویشگاه ( $F=0.001 < p$ ) اختلاف معنی‌داری را نشان می‌دهد (جدول ۱). در هر سه رویشگاه، کمترین درصد این شاخص در عمق ۵۰ تا ۶۰ سانتی‌متر مشاهده شد. فراوانی تجمعی‌های ۵۰ سانتی‌متر مشاهده شد. درصد این شاخص در رویشگاه اول ( $2/763$  درصد) بیشتر از رویشگاه‌های دوم ( $1/9$  درصد) و سوم ( $1/862$  درصد) به‌دست آمد. همچنین، پراکنش این شاخص بین طبقه‌های قطری ریشه در سه رویشگاه مورد بررسی متفاوت بود. شکل ۳، تعداد ریشه در هر طبقه قطری در سه رویشگاه را نشان می‌دهد. براساس این شکل، با افزایش عمق از تعداد ریشه‌های نازک ( $0/5$  تا  $1/5$  میلی‌متر) و قطور (بیشتر از  $10$  میلی‌متر) کم شد. همچنین، بیشتر ریشه‌های قطور در عمق  $10$  سانتی‌متری خاک دیده شدند.

#### تجزیه و تحلیل داده‌ها

ابتدا نرمال بودن داده‌ها با استفاده از آزمون کولموگروف-سمیرنوف ارزیابی شد. بررسی رابطه بین مقاومت کششی و قطر از طریق رگرسیون توانی محاسبه شد. از آزمون ANCOVA برای مقایسه مقدار RAR بین طبقه‌های قطری مختلف و تعداد و چسبندگی ریشه‌ها با در نظر گرفتن عمق خاک به عنوان عامل کوواریت استفاده شد. تجزیه و تحلیل داده‌ها در نرم‌افزار R انجام شدند.

#### نتایج

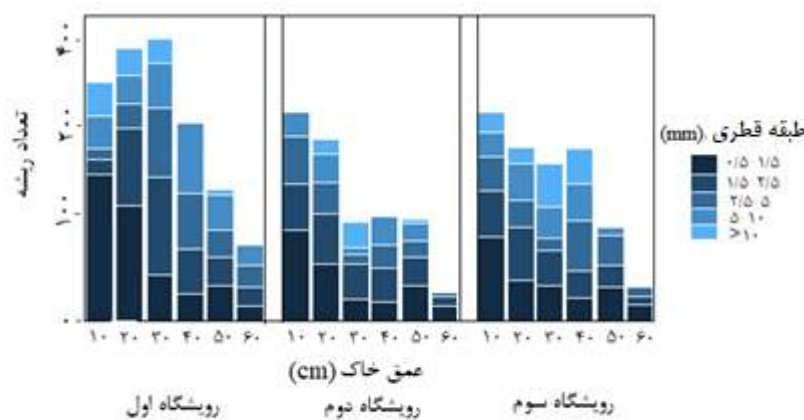
توزیع ریشه درختان مرز در  $63$  پروفیل خاک برای سه فاصله از درخت و سه رویشگاه مورد مطالعه بررسی شد. شکل ۲ نشان می‌دهد که درصد RAR با افزایش عمق خاک کم می‌شود. بیشینه این شاخص برای سه رویشگاه در  $40$  سانتی‌متر ابتدایی خاک به‌دست آمد. براساس شکل ۳، بیشترین مقدار ریشه‌های نازک نیز تا همین عمق مشاهده شدند.



شکل ۲- شاخص نسبت سطح ریشه به سطح خاک (RAR) در عمق‌های مختلف خاک در سه رویشگاه مورد مطالعه

جدول ۱- جدول ANCOVA برای تغییرات شاخص RAR در عمق‌ها، فاصله‌ها و رویشگاه‌های مختلف

منبع	درجه آزادی	مجموع مربعات	میانگین مربعات	F	P
عمق	۱	۰/۷۵	۰/۷۵	۲۳۴/۱۷۲	.۰/۰۰
فاصله	۱	۰/۳۳	۰/۳۳	۱۰۳/۱۶۶	.۰/۰۰
رویشگاه	۲	۰/۲۴۱	۰/۱۲۱	۳۷/۶۶۲	.۰/۰۰
اثر متقابل	۱	۲/۲۸۸	۲/۳۸۸	۷۴۶/۰/۰۴	.۰/۰۰



شکل ۳- تعداد ریشه در طبقه‌های قطری مختلف (میلی‌متر) در عمق‌های مختلف سه رویشگاه

رویشگاه سوم:  $F=۱۷۱/۵۱۵$ ,  $p<0/001$ . همچنین، همبستگی منفی بین مقاومت کششی و قطر ریشه برای هر سه رویشگاه به دست آمد. معادله‌های توانی مربوط به رابطه بین این دو متغیر در رویشگاه اول برابر با  $R^2=0/8543$ ,  $T_r = ۱۸۹/۶۳ d^{-1/0.81}$ , در رویشگاه دوم  $R^2=0/861$ ,  $T_r = ۱۲۷/۹۳ d^{-0/861}$  و در رویشگاه سوم  $R^2=0/7518$ ,  $T_r = ۱۳۹/۴ d^{-1/0.28}$ ,  $p<0/001$  بودند.

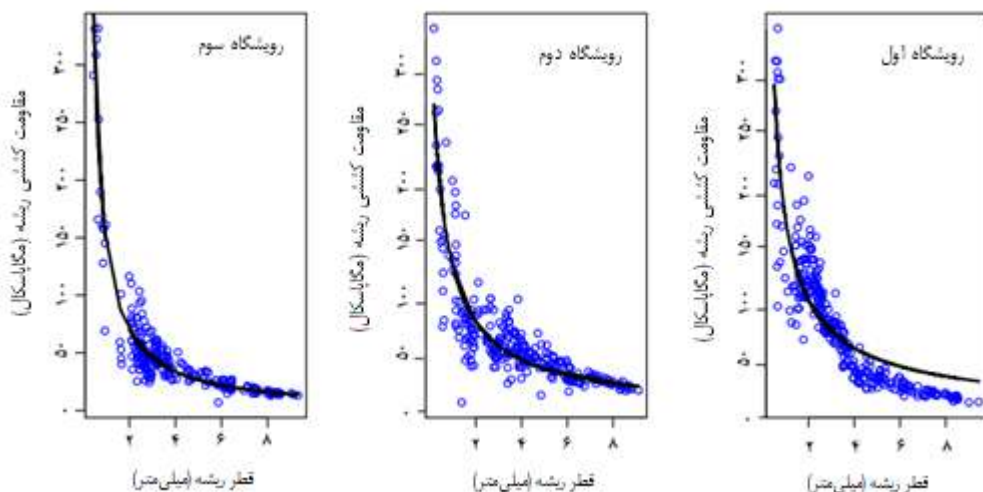
#### چسبندگی ریشه

نتایج مربوط به محاسبه چسبندگی خاک در حضور ریشه با استفاده از مدل‌های WWM و FBM در جدول ۲ ارائه شده است. طبق مدل WWM، متوسط چسبندگی ریشه در همه عمق‌ها برای رویشگاه‌های اول، دوم و سوم

مقاومت کششی ریشه در مجموع ۸۴۸ نمونه ریشه درخت ممرز در آزمایش مقاومت کششی بررسی شد. دامنه تغییرات قطر این نمونه‌ها در رویشگاه اول ۰/۰۵ تا ۹/۴۵، رویشگاه دوم ۰/۰۵۶ تا ۹/۲۱ و رویشگاه سوم ۰/۴۵ تا ۹/۳۲ میلی‌متر بود. همچنین، کمینه و بیشینه مقاومت کششی در رویشگاه اول ۱۱/۵۲ تا ۳۲۳/۴۲، رویشگاه دوم ۶/۸۹ تا ۳۱۸/۷۹ و رویشگاه سوم ۶/۹۱ تا ۳۱۲/۶۶ مگاپاسکال برآورد شد. شکل ۴، مقاومت کششی با توجه به قطر در سه رویشگاه مورد مطالعه را نشان می‌دهد. آنالیز ANCOVA برای مقاومت کششی و قطر ریشه به عنوان عامل کوواریت نشان داد که رابطه بین مقاومت کششی و قطرهای مختلف در هر سه رویشگاه معنی‌دار است (رویشگاه اول:  $p<0/001$ , رویشگاه دوم:  $F=۵۵۹/۴۸۲$ ,  $p<0/001$ , رویشگاه سوم:  $F=۲۶۷/۱۸۹$ ,  $p<0/001$ )

مقدار چسبندگی اضافه شده به خاک در حضور ریشه با افزایش عمق خاک همانند تغییرات شاخص RAR (طبقتابع لگاریتمی) کاهش یافت (شکل ۵). بیشترین چسبندگی در عمق کمتر از ۱۰ سانتی متر مشاهده شد که بیشترین پراکنش ریشه را نیز دارد.

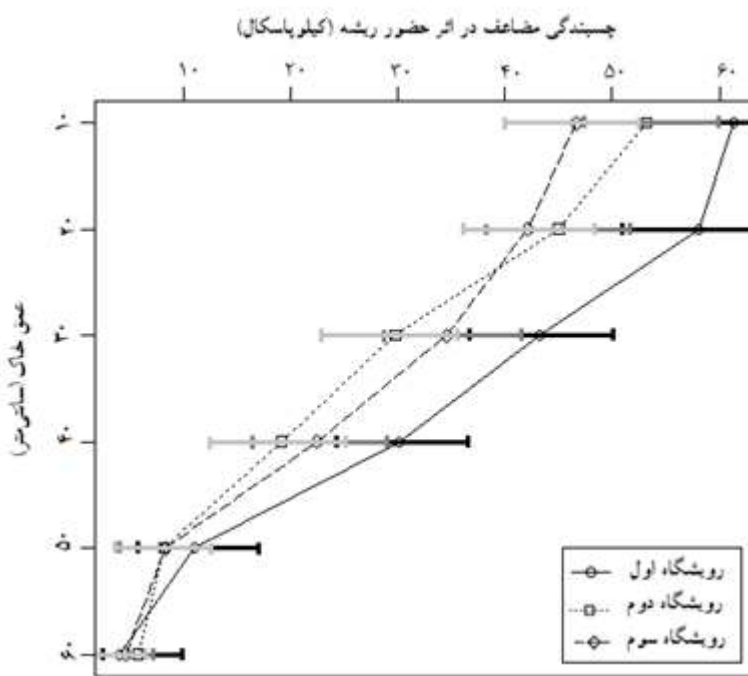
به ترتیب برابر با ۴/۰۴ تا ۴/۰۴، ۶۱/۳۷ تا ۵۳/۱۸ و ۴/۶ تا ۴۶/۶۶ کیلوپاسکال بود. در مدل FBM چسبندگی ریشه در رویشگاه اول ۱/۲۲ تا ۲۷/۴۸، در رویشگاه دوم ۱/۸۷ تا ۲۴/۲۲ و در رویشگاه سوم ۱/۸۵ تا ۱۹/۰۴ کیلوپاسکال به دست آمد. در هر سه رویشگاه،



شکل ۴- رابطه بین مقاومت کششی و قطرهای مختلف ریشه در سه رویشگاه

جدول ۲- چسبندگی خاک در حضور ریشه با استفاده از مدل های FBM و WWM در سه رویشگاه مورد مطالعه (میانگین  $\pm$  اشتباہ معیار)

C <sub>FBM</sub> (kPa)			C <sub>WWM</sub> (kPa)			عمق (سانتی متر)
رویشگاه سوم	رویشگاه دوم	رویشگاه اول	رویشگاه سوم	رویشگاه دوم	رویشگاه اول	
۱۹/۰۴ $\pm$ ۲/۱۴	۲۴/۲۲ $\pm$ ۱/۰۴	۲۷/۴۸ $\pm$ ۰/۲۵	۴۶/۶۶ $\pm$ ۱/۱۴	۵۳/۱۸ $\pm$ ۱/۲۲	۶۱/۳۷ $\pm$ ۱/۰۹	۰-۱۰
۱۴/۳۶ $\pm$ ۰/۱۵	۱۸/۳۲ $\pm$ ۰/۱۷	۲۳/۱۲ $\pm$ ۱/۱۷	۴۲/۱۶ $\pm$ ۱/۰۹	۴۵/۰۱ $\pm$ ۱/۱	۵۸/۱۲ $\pm$ ۱/۱۱	۱۰-۲۰
۱۱/۰۹ $\pm$ ۱/۳	۱۱/۶۵ $\pm$ ۱/۱۲	۱۵/۷ $\pm$ ۲/۳۴	۳۴/۵۶ $\pm$ ۱/۶۲	۲۹/۷۴ $\pm$ ۰/۱۹	۴۳/۲۳ $\pm$ ۰/۶۵	۲۰-۳۰
۷/۶۱ $\pm$ ۰/۱۳	۶/۱۱ $\pm$ ۱/۲۹	۹/۱۴ $\pm$ ۰/۳۶	۲۲/۴۱ $\pm$ ۰/۱۲	۱۹/۱۲ $\pm$ ۰/۱۴	۳۰/۱۲ $\pm$ ۰/۰۸	۳۰-۴۰
۳/۱۶ $\pm$ ۰/۰۳	۲/۷۶ $\pm$ ۰/۱۲	۳/۵۸ $\pm$ ۰/۰۱	۸/۲۸ $\pm$ ۱/۳۶	۸/۱۶ $\pm$ ۰/۳۵	۱۱/۰۳ $\pm$ ۰/۱۶	۴۰-۵۰
۱/۸۵ $\pm$ ۱/۱۸	۱/۸۷ $\pm$ ۱/۰۹	۱/۲۲ $\pm$ ۱/۰۴	۴/۶ $\pm$ ۰/۱۸	۵/۷ $\pm$ ۰/۱۲	۴/۰۴ $\pm$ ۰/۴۵	۵۰-۶۰



شکل ۵- چسبندگی مضاعف خاک در حضور ریشه ممرز در عمق‌های مختلف برای سه رویشگاه مورد مطالعه

پژوهش پیش‌رو، بیشینه ریشه‌دوانی ممرز برای هر سه رویشگاه در عمق ۶۰ سانتی‌متر مشاهده شد. این یافته با نتایج Abdi و همکاران (۲۰۰۹) و Deljouei و همکاران (۲۰۱۹) در خیرودکنار نوشهر مطابقت دارد. همچنین، بیشتر ریشه‌ها در چند سانتی‌متر ابتدایی پروفیل خاک مشاهده شد. Bordoni و همکاران (۲۰۱۶) و Moresi و همکاران (۲۰۱۹) نتایج مشابهی را گزارش کردند. تراکم ریشه‌های نازک (با قطر کمتر از ۱/۵ میلی‌متر) از ریشه‌های با قطر متوسط (با قطر ۱/۵ تا ۱۰ میلی‌متر) در لایه ۱۰ تا ۴۰ سانتی‌متری خاک بیشتر بود. با این حال، ریشه‌های با قطر متوسط در این لایه، مشارکت بیشتری نسبت به لایه‌های دیگر داشتند، بنابراین شاخص RAR بیشتر به اندازه ریشه نسبت به تعداد ریشه حساس است.

یافته‌ها نشان داد که مقاومت کششی ریشه ممرز از یک رابطه توانی کاهشی تبعیت می‌کند، به طوری که مقدار این متغیر با افزایش قطر کاهش یافت. یافته‌های مشابهی برای بعضی گونه‌های دیگر توسط Zhong و همکاران (۲۰۱۶)،

بحث

در هر سه رویشگاه مورد مطالعه، بیشترین مقدار شاخص RAR در ۴۰ سانتی‌متر ابتدایی خاک مشاهده شد و با افزایش عمق تا ۶۰ سانتی‌متر از مقدار آن کاسته شد. در بسیاری از پژوهش‌ها، روند مشابهی برای توزیع RAR در گونه‌های مختلف جنگلی گزارش شده است (Wang *et al.*, 2017). در پژوهش پیش‌رو، رابطه‌های معنی‌داری بین توزیع شاخص RAR در عمق‌های مختلف، فاصله‌های مختلف از درخت و نیز بین سه رویشگاه مشاهده شد. این یافته با نتایج پژوهش‌های Bordoni و همکاران (۲۰۱۶) و Zhong و همکاران (۲۰۱۶) مطابقت دارد. شاخص RAR تحت تأثیر عمق و نوع خاک، ژنتیک و نوع گونه جنگلی، رویشگاه و آب و هوای قرار دارد (Bischetti *et al.*, 2005). در لایه‌های زیرین خاک، ذرات متراکم‌تر و مواد غذایی و هواده‌ی کمتر هستند، بنابراین با افزایش عمق خاک، شاخص مذکور کاهش می‌یابد (Bischetti *et al.*, 2005). بیشینه عمق ریشه‌دوانی به رویشگاه و گونه بستگی دارد. در

تری دارند، مقدار  $\alpha$  بیشتر و  $\beta$  کمتری دارند که می‌توان علت آن را با تفاوت ساختار ریشه بین گونه‌های مختلف مرتبط دانست (Burylo *et al.*, 2011).

چسبندگی ظاهری ریشه با استفاده از دو مدل WWM و FBM برای محاسبه میزان تنش‌های استاتیک و پویا در خاک استفاده شد. در مدل WWM فرض بر این است که همه ریشه‌های در مجاورت سطح برش در یک‌زمان گسیخته می‌شوند. این مدل، تنش‌های استاتیک را در جریان برش محاسبه می‌کند، اما ریشه‌ها در مدل FBM بیشینه مقاومت کششی متفاوتی دارند، بنابراین در زمان‌های متفاوتی گسیخته می‌شوند. مدل مذکور برای برآورد مقدار بار پویا بر خاک در جریان زمین‌لغزش‌های سطحی استفاده می‌شود (Stokes *et al.*, 2009). در پژوهش پیش‌رو از این دو مدل برای برآورد نقش سیستم ریشه در پایداری شیب در جریان خطرات زمین‌شناسی مختلف استفاده شد. نتایج نشان داد که تنش استاتیک، چسبندگی ظاهری بیشتری نسبت به تنش پویا در خاک ایجاد می‌کند (جدول ۲). در پژوهش‌های WWM و مقایسه شد (Adhikari *et al.*, 2013; Wang *et al.*, 2017) و FBM (Pollen & Simon, 2005). از سوی دیگر، هر ریشه مقدار برابری از بار اعمال شده را تحمل می‌کند (Wang *et al.*, 2017).

چسبندگی ظاهری ریشه در خاک رویشگاه اول بیشتر از دو رویشگاه دیگر بود. تغییرات این پارامتر با توزیع RAR که روند مشابهی را نشان می‌دهد و متغیر اصلی در چسبندگی خاک در حضور ریشه است، مطابقت دارد (Federica *et al.*, 2017).

Deljouei و همکاران (۲۰۱۸) و Moresi (۲۰۱۹) گزارش شد. عوامل بسیاری مانند ویژگی‌های خاک، خصوصیات ریشه همچون سن، پوست، ساختار (Genet *et al.*, 2005)، اندازه، ریخت‌شناسی و توزیع آن و نیز نوع گونه (Gentile *et al.*, 2010) بر مقاومت کششی ریشه تأثیر می‌گذارند.

نتایج دیگر پژوهش پیش‌رو حاکی از آن بود که ریشه‌های نازک، مقاومت بیشتری در مقابل کشش و استرس نسبت به ریشه‌های قطره دارند (Bischetti *et al.*, 2005). مهم‌ترین دلیل این یافته می‌تواند کاهش نسبت سلوولز در ریشه‌های قطره در مقایسه با ریشه‌های نازک باشد (Zhang *et al.*, 2014) و همکاران (۲۰۰۵) گزارش کردند که غلظت سلوولز بر مقاومت کششی ریشه تأثیرگذار است، به طوری که افزایش سلوولز موجب استحکام بیشتر ریشه‌ها می‌شود. غلظت لیگنین، یکی دیگر از عوامل مؤثر بر مقاومت کششی ریشه محسوب می‌شود. با این حال، تغییرات مقاومت کششی گونه‌ها به شرایط مختلف محیط رویش شامل رطوبت خاک، خصوصیات فیزیکی ریشه، شرایط نگهداری آن در طی آزمایش، زمان سپری شده پیش از آزمایش و تفاوت در دستگاه اندازه‌گیری مقاومت کششی نیز بستگی دارد (Bischetti *et al.*, 2009).

در پژوهش Abdi و همکاران (۲۰۰۹)، مقاومت کششی ریشه مرز برای دامنه قطری  $0/3 \text{ تا } 4/5$  میلی‌متر به ترتیب  $11/72$  و  $62/20$  مگاپاسکال برآورد شد. همچنین، Deljouei و همکاران (۲۰۱۸) مقاومت کششی را برای ریشه همین گونه  $56/7$  تا  $25/7$  مگاپاسکال در بالای شیب و  $6/23$  تا  $2/48$  در پایین شیب گزارش کردند. در پژوهش پیش‌رو، میانگین مقاومت کششی ریشه مرز  $52/11$  تا  $64/49$  مگاپاسکال در دامنه قطری  $0/64 \text{ تا } 4/5$  میلی‌متر به دست آمد. این نتایج متفاوت را می‌توان به شرایط محیطی مختلف و یا درنظر گرفتن دامنه‌های قطری متفاوت توسط پژوهشگران مختلف نسبت داد. در پژوهش پیش‌رو، ضربه‌های  $\alpha$  و  $\beta$  برای مرز به ترتیب  $6/48$  و  $45/0$  برآورد شد (رابطه ۶). درکل، گونه‌هایی که ریشه‌های قوی

استفاده از WWM فقط برای طبقه‌بندی گونه‌ها براساس پتانسیل آن‌ها در مسلح‌سازی خاک می‌تواند مفید باشد (Adhikari *et al.*, 2013).

تاکنون در ایران، مسلح‌سازی خاک برای بسیاری از گونه‌های درختی با استفاده از مدل WWM بررسی شده است، در حالی‌که براساس یافته‌های بسیاری از پژوهشگران، مقدار مسلح‌سازی خاک در این مدل بیشتر از مقدار واقعی محاسبه می‌شود. همین امر موجب کاهش دقت حداقل ۱۰ درصدی Schwarz *et al.* (Factor of safety) می‌شود (2009). مقدار مسلح‌سازی Castanea sativa با استفاده از مدل FBM را ۱۹ کیلوپاسکال محاسبه کردند، اما Schwarz و همکاران (2010) با استفاده از مدل WWM، این متغیر را برای گونه‌های ذکور ۳۸ تا ۵۰ کیلوپاسکال به دست آوردند. همچنین، Abdi (2009) چسبندگی خاک در حضور ریشه‌های ممرز با استفاده از مدل WWM را چهار تا ۶۸ کیلوپاسکال محاسبه کرد، در حالی‌که در پژوهش پیش‌رو با استفاده از مدل FBM، این پارامتر برابر با ۱/۲۲ تا ۲۷/۴۸ کیلوپاسکال برآورد شد. در بین شیوه‌های جدید محاسبه مسلح‌سازی خاک، مدل ذکور نیاز به متغیرهای کمتری دارد و به آسانی قابل محاسبه است، بنابراین به منظور بررسی دقیق میزان مسلح‌سازی خاک، استفاده از روش‌های نوین مانند FBM که بر مبنای ویژگی‌هایی مانند قطر و آستانه مقاومت کشنی ریشه به کار می‌روند، توصیه می‌شود.

### منابع مورد استفاده

- Abdi, E., 2009. An investigation of the effect of tree roots in slope stability in order to use in practical forest road construction and bioengineering. Ph.D. thesis, Faculty of Natural Resources, University of Tehran, Karaj, 89p (In Persian).
- Abdi, E., 2014. Effect of Oriental beech root reinforcement on slope stability (Hyrcanian Forest, Iran). Journal of Forest Science, 60(4): 166-173.
- Abdi, E., Majnounian, B., Rahimi, H. and Zobeiri, M., 2009. Distribution and tensile strength of Hornbeam (*Carpinus betulus*) roots growing on slopes of

مقاومت کشنی که تابعی از قطر ریشه و تراکم آن است، محاسبه می‌شود، به‌طوری‌که ریشه‌های نازک، چسبندگی بیشتری ایجاد می‌کنند (Adhikari *et al.*, 2013). مسلح‌سازی خاک در اثر حضور ریشه با افزایش عمق، روند کاهشی داشت. Bordoni و همکاران (2016) و Abdi و همکاران (2009) نیز به نتیجه‌ای مشابه دست یافتند. در واقع، به‌دلیل تجمع ریشه در لایه‌های ابتدایی خاک، مقدار چسبندگی بیشتری در مقایسه با عمق خاک وجود دارد. با استفاده از مدل WWM، مقدار مسلح‌سازی خاک توسط ریشه حدود ۴۰ تا ۶۰ کیلوپاسکال در ۲۰ سانتی‌متر اول پروفیل و کمتر از ۱۰ کیلوپاسکال در لایه‌های عمیق‌تر خاک محاسبه شد. این نتیجه با یافته‌های Abdi و همکاران (2009) مطابقت دارد. مقدار مسلح‌سازی با استفاده از مدل FBM در عمق کمتر از ۲۰ سانتی‌متر، حدود ۱۵ تا ۳۰ کیلوپاسکال و در عمق‌های بیشتر، کمتر از پنج کیلوپاسکال به دست آمد. Mao و همکاران (2012) و Wang و همکاران (2017) نتایج مشابهی را گزارش کردند.

چسبندگی خاک در منطقه مورد مطالعه ۳۲/۴۸ کیلوپاسکال گزارش شد (Ghorbannezhad, 2014). با توجه به یافته‌های پژوهش پیش‌رو می‌توان نتیجه گرفت که چسبندگی خاک در حضور ریشه درختان نسبت به چسبندگی خاک منطقه بیشتر است. طبق نتایج چسبندگی با استفاده از مدل WWM، وجود ریشه درختان در خاک سبب افزایش مسلح‌سازی خاک می‌شود. براساس یافته‌های Bischetti *et al.*, 2009; Adhikari *et al.*, 2013; Wang *et al.*, 2017 FBM، چسبندگی خاک در حضور ریشه را بیشتر از مقدار واقعی محاسبه می‌کند. در مدل WWM، قطر ریشه‌ها و مقاومت کشنی آن‌ها برای محاسبه مقدار چسبندگی در نظر گرفته نمی‌شود. به همین دلیل بسیاری از پژوهشگران Pollen & Simon, 2005; Bischetti *et al.*, 2009; Mao (et al., 2012) برای کاهش پیش‌برآورده این مدل از ضریب تصحیح  $k$  استفاده کردند. در پژوهش پیش‌رو، این نسبت بین ۰/۳۲ تا ۰/۰۵ به دست آمد، بنابراین چسبندگی خاک با

- Management, 256(8): 1517-1526.
- Genet, M., Stokes, A., Salin, F., Mickovski, S.B., Fourcaud, T., Dumail, J.F. and van Beek, R., 2005. The influence of cellulose content on tensile strength in tree roots. *Plant and Soil*, 278: 1-9.
  - Gentile, F., Elia, G. and Elia, R., 2010. Analysis of the stability of slopes reinforced by roots. *Design and Nature V*, WIT Transactions on Ecology and the Environment, 138: 198-200.
  - Ghorbannezhad, S., 2014. Reinforcement of deep trenches in clay and sticky soils in Sarcheshme. MSc. thesis, Faculty of Civil Engineering, Islamic Azad University of Chalous, Chalous, 104p (In Persian).
  - Giadrossich, F., Cohen, D., Schwarz, M., Seddaiu, G., Contran, N., Lubino, M., ... and Niedda, M., 2016. Modeling bio-engineering traits of *Jatropha curcas* L. *Ecological Engineering*, 89: 40-48.
  - Gyssels, G., Poesen, J., Bochet, E. and Li, Y., 2005. Impact of plant roots on the resistance of soils to erosion by water: a review. *Progress in Physical Geography: Earth and Environment*, 29(2): 189-217.
  - Hidalgo, R.C., Kun, F. and Herrmann, H.J., 2001. Bursts in a fiber bundle model with continuous damage. *Physical Review E*, 64(6): 066122.
  - Mao, Z., Saint-André, L., Genet, M., Mine, F.X., Jourdan, C., Rey, H., ... and Stokes, A., 2012. Engineering ecological protection against landslides in diverse mountain forests: Choosing cohesion models. *Ecological Engineering*, 45: 55-69.
  - Moresi, F.V., Maesano, M., Matteucci, G., Romagnoli, M., Sidle, R.C. and Scarascia Mugnozza, G., 2019. Root biomechanical traits in a montane Mediterranean forest watershed: Variations with species diversity and soil depth. *Forests*, 10(4): 341.
  - Naghdi, R., Maleki, S., Abdi, E., Mousavi, R. and Nikooy, M., 2013. Assessing the effect of *Alnus* roots on hillslope stability in order to use in soil bioengineering. *Journal of Forest Science*, 59(11): 417-423.
  - Pollen, N. and Simon, A., 2005. Estimating the mechanical effects of riparian vegetation on stream bank stability using a fiber bundle model. *Water Resources Research*, 41(7): W07025.
  - Schwarz, M., Giadrossich, F. and Cohen, D., 2013. Modeling root reinforcement using a root-failure Weibull survival function. *Hydrology and Earth System Sciences*, 17(11): 4367-4377.
  - Schwarz, M., Preti, F., Giadrossich, F., Lehmann, P. and Or, D., 2010. Quantifying the role of vegetation in slope stability: A case study in Tuscany (Italy). *Ecological Engineering*, 36(3): 285-291.
  - Sidle, R. and Bogaard, T., 2016. Dynamic earth system and ecological controls of rainfall-initiated Caspian Forests, Iran. *Journal of Forestry Research*, 20(2): 105-110.
  - Adhikari, A.R., Gautam, M.R., Yu, Z., Imada, S. and Acharya, K., 2013. Estimation of root cohesion for desert shrub species in the Lower Colorado riparian ecosystem and its potential for stream bank stabilization. *Ecological Engineering*, 51: 33-44.
  - Bischetti, G.B., Chiaradia, E.A., Epis, E. and Morlotti, E., 2009. Root cohesion of forest species in the Italian Alps. *Plant and Soil*, 324: 71-89.
  - Bischetti, G.B., Chiaradia, E.A., Simonato, T., Speziali, B., Vitali, B., Vullo, P. and Zocco, A., 2005. Root strength and root area ratio of forest species in Lombardy (Northern Italy). *Plant and Soil*, 278: 11-22.
  - Bordoni, M., Meisina, C., Vercesi, A., Bischetti, G.B., Chiaradia, E.A., Vergani, C., ... and Cislaghi, A., 2016. Quantifying the contribution of grapevine roots to soil mechanical reinforcement in an area susceptible to shallow landslides. *Soil and Tillage Research*, 163: 195-206.
  - Burylo, M., Hudek, C. and Rey, F., 2011. Soil reinforcement by the root system of six dominant species on eroded mountainous marly slopes (Southern Alps, France). *Catena*, 84(1-2): 70-78.
  - Daniels, H.E., 1945. The statistical theory of the strength of bundles of threads. *Proceedings of the Royal Society of London Series A*, 183(995): 405-435.
  - Deljouei, A., Abdi, E., Majnounian, B. and Schwarz, M., 2018. Comparing roots mechanical characteristics of hornbeam trees in different diameter at breast height classes. *Forest and Wood Products*, 71(3): 199-207 (In Persian).
  - Deljouei, A., Abdi, E., Majnounian, B. and Schwarz, M., 2019. Roots spatial distribution of *Carpinus betulus* in lowland Hyrcanian forests (Kheyrud forest, Nowshahr). *Journal of Forest Research and Development*, 4(4): 477-488 (In Persian).
  - Dupuy, L., Fourcaud, T. and Stokes, A., 2005. A numerical investigation into factors affecting the anchorage of roots in tension. *European Journal of Soil Science*, 56(3): 319-327.
  - Federica, G., Chiara, V., Rodolfo, G., Anne, B., Pierre, C., Sandra, C. and Chiaradia, E.A., 2017. Root characteristics of herbaceous species for topsoil stabilization in restoration projects. *Land Degradation and Development*, 28(7): 2074-2085.
  - Genet, M., Kokutse, N., Stokes, A., Fourcaud, T., Cai, X., Ji, J. and Mickovski, S., 2008. Root reinforcement in plantations of *Cryptomeria japonica* D. Don: effect of tree age and stand structure on slope stability. *Forest Ecology and Management*, 256(8): 1517-1526.

- mitigation: A case study from Gansu province, China. *Geomorphology*, 282: 64-73.
- Wu, T.H., McKinnell III, W.P. and Swanston, D.N., 1979. Strength of tree roots and landslides on Prince of Wales Island, Alaska. *Canadian Geotechnical Journal*, 16(1): 19-33.
  - Zhang, C.B., Chen, L.H. and Jiang, J., 2014. Why fine tree roots are stronger than thicker roots: The role of cellulose and lignin in relation to slope stability. *Geomorphology*, 206 :196–202.
  - Zhong, R.H., He, X.B., Bao, Y.H., Tang, Q., Gao, J.Z., Yan, D.D., ... and Li, Y., 2016. Estimation of soil reinforcement by the roots of four post-dam prevailing grass species in the riparian zone of Three Gorges Reservoir, China. *Journal of Mountain Science*, 13(3): 508-521.
  - landslides. *Earth Science Reviews*, 159:275–291.
  - Stokes, A., Atger, C., Bengough, A.G., Fourcaud, T. and Sidle, R.C., 2009. Desirable plant root traits for protecting natural and engineered slopes against landslides. *Plant and Soil*, 324: 1-30.
  - Vergani, C., Schwarz, M., Cohen, D., Thormann, J.J. and Bischetti, G.B., 2014. Effect of root tensile force and diameter distribution variability on root reinforcement in the Swiss and Italian Alps. *Canadian Journal of Forest Research*, 44(11): 1426-1440.
  - Waldron, L.J., 1977. The shear resistance of root-permeated homogeneous and stratified soil. *Soil Science Society of America Journal*, 41(5): 843-849.
  - Wang, S., Meng, X., Chen, G., Guo, P., Xiong, M. and Zeng, R., 2017. Effects of vegetation on debris flow

## Investigation of soil reinforcement according to the root cohesion changes in hornbeam (*Carpinus betulus L.*)

**S. Karamirad<sup>1\*</sup>, M. Lotfalian<sup>2</sup>, E. Shooshpasha<sup>3</sup>, H. Jalilvand<sup>2</sup> and F. Giadrossich<sup>4</sup>**

1\* Corresponding author, Ph.D. Student of Forest Engineering, Faculty of Natural Resources, Sari University of Agricultural Sciences and Natural Resources, Sari, Iran. E-mail: s.karamirad64@gmail.com

2- Prof., Department of Forestry, Faculty of Natural Resources, Sari University of Agricultural Sciences and Natural Resources, Sari, Iran

3- Associate Prof., Department of Geotechnic, Faculty of Civil Engineering, Babol University of Technology, Babol, Iran

4- Prof., Forestry and Environmental Science, Department of Agriculture, Sassari University, Sassari, Italy

Received: 08.05.2020

Accepted: 28.08.2020

### **Abstract**

The degree of soil cohesion investigation through the presence of roots is one of the important criteria in soil reinforcement studies. In this study, the investigation and comparison of the degree of soil cohesion have been carried out using two models of WWM and FBM. For this purpose, seven hornbeam (*Carpinus betulus L.*) trees were selected in each three sites of chalos sarcheshme forest, series one. Then profile trenching method was used to analyze and compare root distribution and standard instron device have been measured tensile strength, respectively. The root area ratio (RAR) has decreased with increasing depth, and the maximum value of RAR in the three sites is seen at about 40 cm from the beginning, and the maximum depth of rooting is 60 cm. The results confirmed that there was a power law relationship between root diameter and tensile strength. The minimum and maximum tensile strength was estimated at 11.52-323.42, 6.89-318.79 and 6.91-312.66 MPa, in diameter range of 0.5-9.45, 0.56-9.21, 0.45-9.32 in the first, second and third site, respectively. In all three sites, the amount of soil cohesion through the presence of roots using the WWM model was 4.04-61.37, 5.7-53.18, 4.6-46.66 kpa and in FBM model the root cohesion in all depth was 1.22-27.48, 1.87-24.22, 1.85-19.04 kpa in the first, second and third site, respectively. Comparison of these two models increases our knowledge of the biomechanical features of the hornbeam species and more accurately determines the amount of soil reinforcement to be used in the future in the management of natural phenomena such as landslides.

**Keywords:** Bioengineering, FBM model, root tensile strength, soil stability, WWM model.